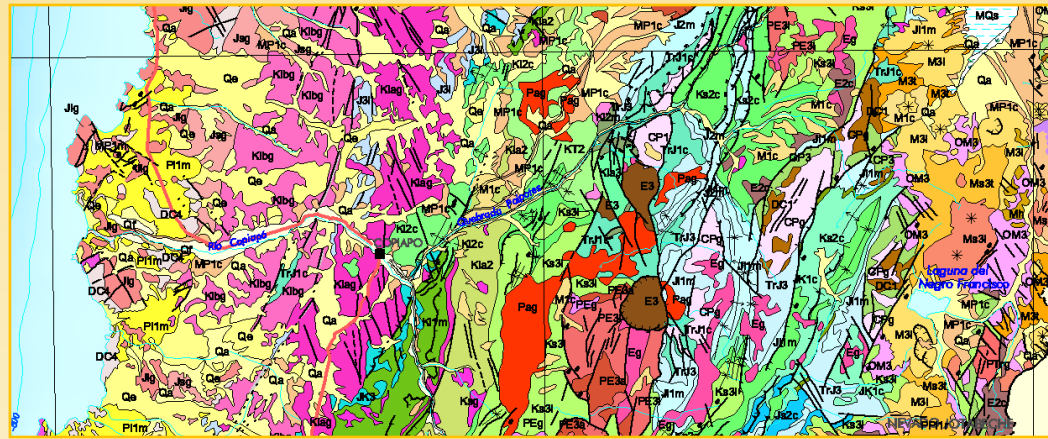




GOBIERNO DE CHILE
SERVICIO NACIONAL DE
GEOLOGIA Y MINERIA
Subdirección Nacional
de Geología



MAPA GEOLOGICO DE CHILE: VERSION DIGITAL

PUBLICACION GEOLOGICA DIGITAL, No. 4, 2003
CD-ROM, versión 1.0, 2003

Base Geológica escala 1:1.000.000

● Información Editorial

● Introducción

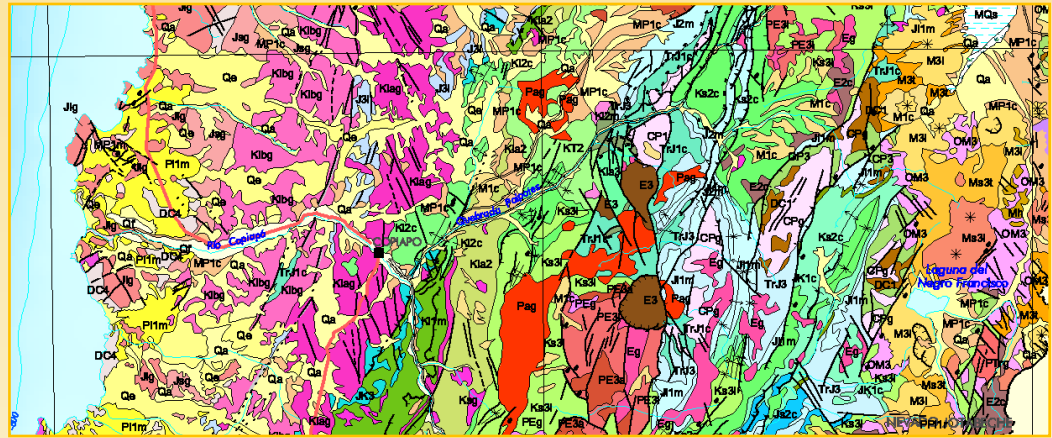


Servicio Nacional
de Geología y Minería

* "ACUERDO ENTRE LA REPUBLICA DE CHILE Y LA REPUBLICA ARGENTINA PARA PRECISAR EL RECORRIDO DEL LIMITE DESDE EL MONTE FITZ ROY HASTA EL CERRO DAUDET". (Buenos Aires, 16 de diciembre de 1998).



GOBIERNO DE CHILE
SERVICIO NACIONAL DE
GEOLOGÍA Y MINERÍA
Subdirección Nacional
de Geología



MAPA GEOLOGICO DE CHILE: VERSION DIGITAL

PUBLICACION GEOLOGICA DIGITAL, No. 4, 2003
CD-ROM, versión 1.0, 2003

Base Geológica escala 1:1.000.000

● Mapa Geológico (Hoja 1)

● Mapa Geológico (Hoja 2)

● Mapa Geológico (Hoja 3)

● Leyenda Geológica

● Simbología



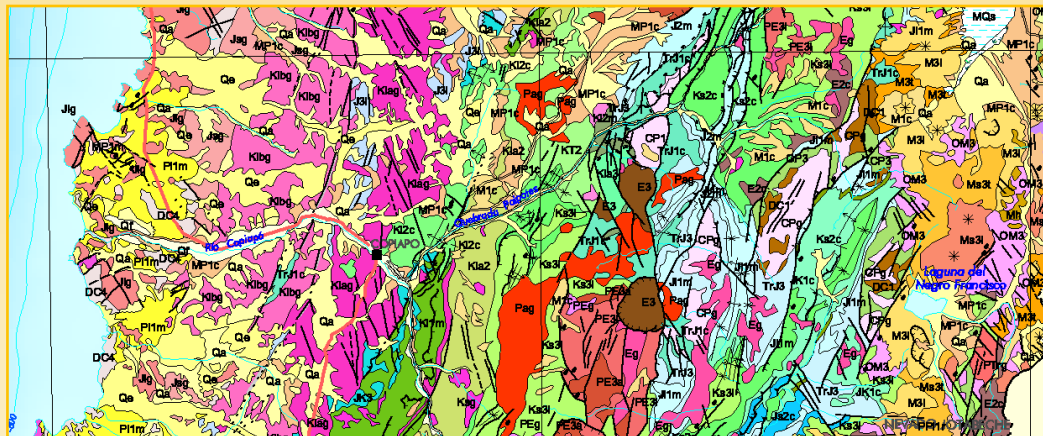
Servicio Nacional
de Geología y Minería



*ACUERDO ENTRE LA REPUBLICA DE CHILE Y LA
REPUBLICA ARGENTINA PARA PRECISAR EL RECORRIDO
DEL LIMITE DESDE EL MONTE FITZ ROY HASTA EL CERRO
DAUDET*. (Buenos Aires, 16 de diciembre de 1998).



GOBIERNO DE CHILE
SERVICIO NACIONAL DE
GEOLOGIA Y MINERIA
Subdirección Nacional
de Geología



MAPA GEOLOGICO DE CHILE: VERSION DIGITAL

PUBLICACION GEOLOGICA DIGITAL, No. 4, 2003
CD-ROM, versión 1.0, 2003

Base Geológica escala 1:1.000.000

● Referencias

● Directorios de Archivos



Servicio Nacional
de Geología y Minería

* "ACUERDO ENTRE LA REPUBLICA DE CHILE Y LA REPUBLICA ARGENTINA PARA PRECISAR EL RECORRIDO DEL LIMITE DESDE EL MONTE FITZ ROY HASTA EL CERRO DAUDET". (Buenos Aires, 16 de diciembre de 1998).

INTRODUCCION

ANTECEDENTES GENERALES

Desde comienzos del siglo XIX, naturalistas extranjeros, entre los que se contaban Darwin, D'Orbigny, Gay, Piscis, Domeyko y Philippi, llevaron a cabo estudios geológicos y paleontológicos en Chile. Posteriormente, en las primeras cinco décadas del siglo veinte, numerosos ingenieros de minas chilenos y geólogos extranjeros aportaron valiosos antecedentes geológicos acerca del territorio nacional. Una primera síntesis de ellos fue realizada por Juan Brügger en 1950 e incluyó un Mapa Geológico de Chile escala 1:3.500.000.

A partir de fines de los 50 del siglo recién pasado, con la creación de la Escuela de Geología en la Universidad de Chile y del Instituto de Investigaciones Geológicas (IIG), se comenzaron trabajos sistemáticos de cartografía geológica, en esta oportunidad con la participación, cada vez más preponderante, de geólogos nacionales. En 1960 se realizó la publicación del primer Mapa Geológico de Chile escala 1:1.000.000 por el Instituto de Investigaciones Geológicas (IIG, CORFO), institución que, en 1968, publicó un nuevo documento de este tipo. Una tercera versión fue preparada por el IIG y publicada en 1982 por SERNAGEOMIN, institución formada por la fusión del IIG y el Servicio de Minas del Estado. Finalmente, SERNAGEOMIN publicó en 2002 la presente versión del Mapa Geológico de Chile escala 1:1.000.000, esta vez en formato tanto impreso como digital, incluyendo las coberturas cartográficas más relevantes.

Un mapa geológico a escala 1:1.000.000 es una representación conceptual de unidades que reflejan tiempos y procesos mayores, relevantes a escala de compilación y de influencia regional. Las unidades representadas en el documento adjunto reúnen a una o varias entidades geológicas formales (por ejemplo, "formaciones") o informales, reconocidas en levantamientos de mayor detalle que se integran aquí por analogía. La leyenda esquemática que acompaña al mapa, menciona solo aquellas unidades locales más representativas y conocidas, lo que facilitó su comprensión y las correlaciones en todo el territorio nacional.

El Mapa Geológico de Chile escala 1:1.000.000 es el resultado de la ejecución de un proyecto multidisciplinario al interior del Departamento de Geología Regional de la Subdirección Nacional de Geología de SERNAGEOMIN. Incorpora dos décadas de mapeo geológico y trabajo científico de geólogos del Servicio y la colaboración de investigadores externos (universidades y empresas). Información básica para este producto fueron los mapas geológicos publicados o inéditos, principalmente por el IIG y SERNAGEOMIN y, en menor proporción, los datos disponibles en artículos publicados en revistas científicas por investigadores de diferentes nacionalidades e instituciones.

En esta versión 2002 destaca la nueva información disponible para el norte del país, de impacto directo en la minería. Por otra parte, los nuevos antecedentes geológicos reunidos en las regiones Metropolitana y de Los Lagos, han constituido la base para la línea de mapas geoambientales de SERNAGEOMIN, de inmediata aplicación en el ordenamiento y gestión territorial. Hay también avances

● **Dominios Morfoestructurales y División Político-administrativa**

● **Compiladores y Coordinadores**

● **Fuente de la Información**

INTRODUCCION

respecto a la versión de 1982 en la geología de la Patagonia chilena, donde se han incluido los resultados de nuevos estudios llevados a cabo por SERNAGEOMIN en Aisén y por la Empresa Nacional del Petróleo en Magallanes. Creemos que este documento contribuirá al conocimiento del medio físico nacional en uno de sus constituyentes primordiales y permitirá obtener guías que, en lo posible, orienten la toma de decisiones estratégicas de escala regional.

RESEÑA DE LA GEOLOGIA

Precámbrico. Los protolitos de las escasas rocas metamórficas aflorantes en láminas tectónicas del Norte Grande, permanecen como las únicas unidades precámbricas de Chile sudamericano. En la parte cratónica del territorio antártico, en cambio, abundan tanto rocas de esa edad como del Paleozoico temprano.

Ordovícico-Silúrico. Rocas marinas del Ordovícico-Silúrico se exponen restringidamente en la precordillera al interior de Iquique. Afloramientos más extensos de rocas marinas, volcánicas y volcanoclásticas se encuentran al interior de Antofagasta, en el límite con Argentina. Estas rocas forman parte de la gran cuenca ordovícica, del noroeste argentino y sur boliviano. Rocas intrusivas se exponen en reducidos afloramientos en la precordillera a los 21°S, al sur del salar de Atacama y en la península Antártica.

Devónico-Carbonífero. Rocas del Devónico-Carbonífero en prismas de acreción constituyen el esqueleto del sector costero desde la frontera con Perú hasta los 38°S. Hacia el sur de esta latitud, los prismas incluyen rocas cada vez más jóvenes: desde pérmicas a jurásicas. Los remanentes metasedimentarios de esta edad, expuestos al este de la cordillera Patagónica, sin embargo, se interpretan actualmente como depósitos de un margen pasivo.

Carbonífero-Triásico. Existen dos franjas de rocas plutónicas del Carbonífero tardío a Triásico. La primera se inicia a los 40°S (lago Ranco) y cruza al oeste hasta la cordillera de Nahuelbuta, donde se extiende por la Cordillera de la Costa hasta los 33°S. La segunda franja, localizada al este de la primera, es portadora de facies volcánicas silíceas y se inicia a los 31°S (interior de Ovalle) y hasta los 27°40' en una franja continua. Sus afloramientos se vuelven dispersos hacia el norte, al ser cubiertos por rocas mesozoicas-cenozoicas, y llegan hasta los 22°S (interior de Tocopilla).

Triásico-Jurásico Inferior. Rocas del Triásico-Jurásico Inferior afloran, en el sector costero, como relleno de cuencas marinas híbridas de 'riff' de antearco entre los 37° y los 26°. Hacia el norte de los 26°S, aumenta, en estas cuencas, el volcanismo bimodal, mientras hacia el este se reconocen escasos afloramientos de rocas de cuencas de trasarco. Los afloramientos de la cordillera Principal, concentrados

INTRODUCCION

al norte de los 30°S, son también escasos y marcan la extensión, desde Argentina, de 'rifts' episuturales con respecto a terrenos paleozoicos.

Jurásico Medio-Superior. Rocas volcánicas, volcanoclásticas y marinas del Jurásico Medio-Superior tienen amplia distribución: arco andesítico costero al norte de los 29°S, relleno de nuevos 'rifts' en la cordillera Principal central y volcanismo silícico del borde occidental de la Provincia Chon Aike en el SE de la Región de Los Lagos, Aisén y Magallanes.

Titoniano-Cretácico Inferior. Rocas sedimentarias marinas de esta edad representan depósitos de cuencas de intraarco (Cordillera de la Costa central) y de cuencas de trasarco (cuencas atacameña y aconcagüina-neuquina; esta última aflorante en Chile, por solo dos grados en la vertiente pacífica). Gran extensión tienen, en cambio, las sedimentitas marinas del Titoniano-Cretácico de la cuenca Austral, una cuenca de antepaís, productora de hidrocarburos en la Patagonia chilena y argentina; en Chile, desarrollada en Magallanes y Aisén.

Cretácico Superior. Entre los afloramientos del Cretácico Superior marino de la cuenca Austral, las volcanitas subaéreas de Aisén y los depósitos continentales de fosas tectónicas nortinas, se aprecia una falta de depositación en Chile central para dicho lapso.

Cenozoico. Gran parte del norte del país se encuentra cubierto ya sea por extensos flujos lávicos o piroclásticos o por gravas cenozoicas, asociadas, estas últimas, a intensa erosión por alzamiento de la cordillera Andina. Durante este período, en la cordillera Principal de Chile central se depositaron grandes espesores de depósitos piroclásticos y sedimentarios en cuencas de intraarco al sur de los 33°S e invertidas al norte de los 35°S, contemporáneamente a la construcción de un potente arco volcánico mioceno. En la parte occidental del territorio y entre los 36°S y el Punto Triple de Chile en la península de Taitao, las características de las cuencas cenozoicas (en parte marinas y metamorfizadas), y el emplazamiento de plutones miocenos, se asocian a la actividad del sistema de fallas Liquiñe-Ofqui. En estas mismas latitudes, pero en el sector oriental del país, las cuencas cenozoicas acumularon, entre el Paleoceno Superior y el Mioceno-Plioceno, principalmente depósitos fluviales, con una intercalación marina durante el Oligoceno Superior-Mioceno Inferior. Estas sedimentitas fueron depositadas principalmente en cuencas de antepaís y al este de una cadena magmática, en parte contemporáneamente con basaltos de 'plateau' del Eoceno y Mioceno-Plioceno. Finalmente, en Magallanes, los sedimentos cenozoicos se acumularon, principalmente, en cuencas de antepaís.

Volcanes cuaternarios se distribuyen, en forma discontinua, a lo largo del país. Numerosos aparatos volcánicos cuaternarios se desarrollan en el Altiplano, al norte de los 27°S. Depósitos laháricos y piroclásticos rellenan la depresión central entre Santiago y Temuco, mientras que sedimentos asociados a glaciares lo hacen más al sur. Los volcanes son de composición adakítica al sur del Punto Triple de Chile.



GOBIERNO DE CHILE
SERVICIO NACIONAL DE
GEOLOGÍA Y MINERÍA
Subdirección Nacional
de Geología

MAPA GEOLOGICO DE CHILE: VERSION DIGITAL

PUBLICACION GEOLOGICA DIGITAL, No. 4, 2003
CD-ROM, versión 1.0, 2003

Base geológica escala 1:1.000.000

ISSN 0717-9006

Inscripción No. 132.013

© Servicio Nacional de Geología y Minería. Av. Santa María 0104, Casilla 10465, Santiago, Chile.
Director Nacional: Ricardo Troncoso S.M.
Subdirector Nacional de Geología: José Frutos J.

Derechos reservados, prohibida su reproducción.

Edición

Comité Editor:

Editores:

Comisión revisora de CD-ROM: Paulina Gana F., Iris Lazo A., Manuel Suárez D., Nicolás Marinovic S.

Producción Digital

CD-ROM: Unidad de Sistemas de Información Geológica.

Presentación y Carátula: Cecilia Morales U.

Imágenes: Iris Lazo A.

Archivo: Iris Lazo A.

Reproducción: Sara Vidal C.

Producción digital: Ximena Andrade S.M., Ignacio Bascuñan A., Mario Farías O., Iris Lazo A., Cecilia Morales U., Claudio Muñoz D., César Reyes B., Ximena Rivera C.

Referencia bibliográfica

SERNAGEOMIN, 2003. Mapa Geológico de Chile: versión digital. *Servicio Nacional de Geología y Minería, Publicación Geológica Digital*, No. 4 (CD-ROM, versión 1.0, 2003). Santiago.

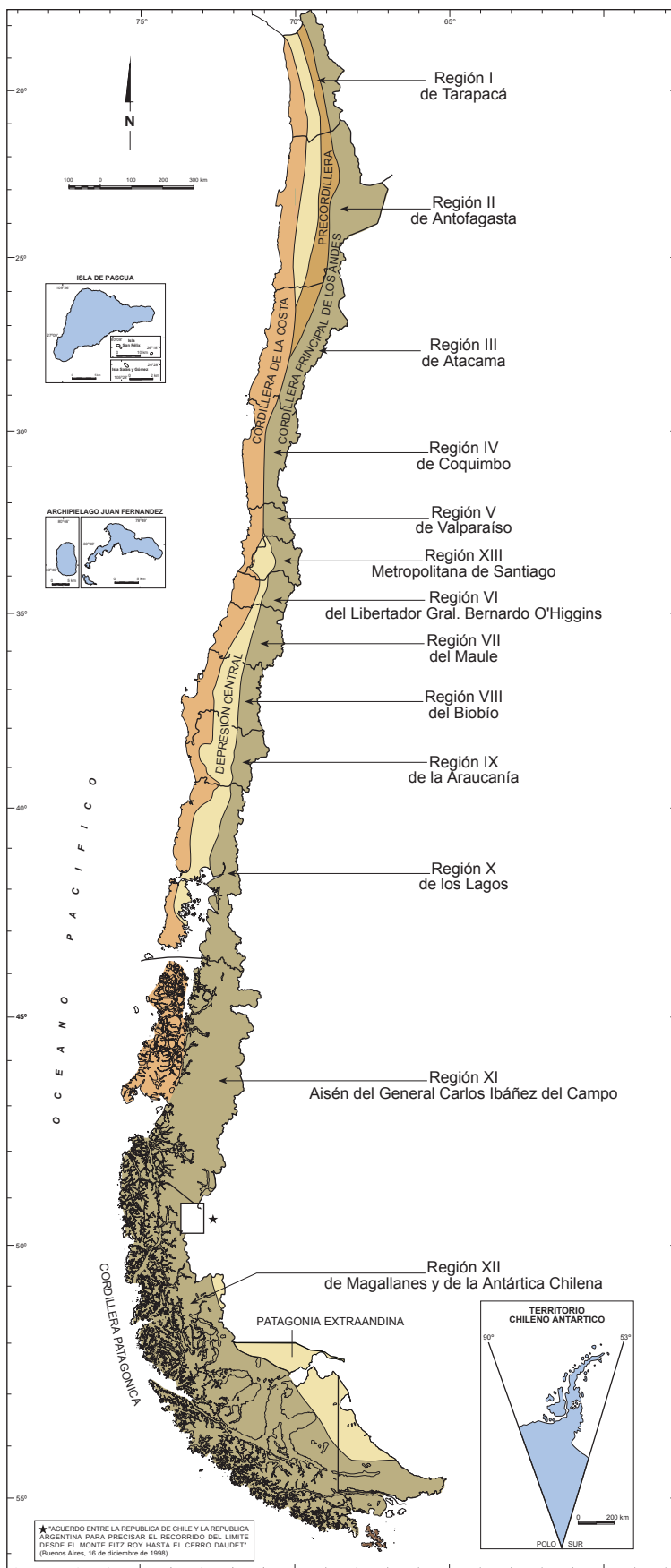
Nota

Este CD-ROM incluye el mapa geológico de Chile a escala 1:1.000.000, publicado en la Serie Geología Básica del Servicio Nacional de Geología y Minería (SERNAGEOMIN, 2002) complementado con bases de datos sobre unidades geológicas.

El mapa geológico de SERNAGEOMIN (2002), posee las siguientes características:

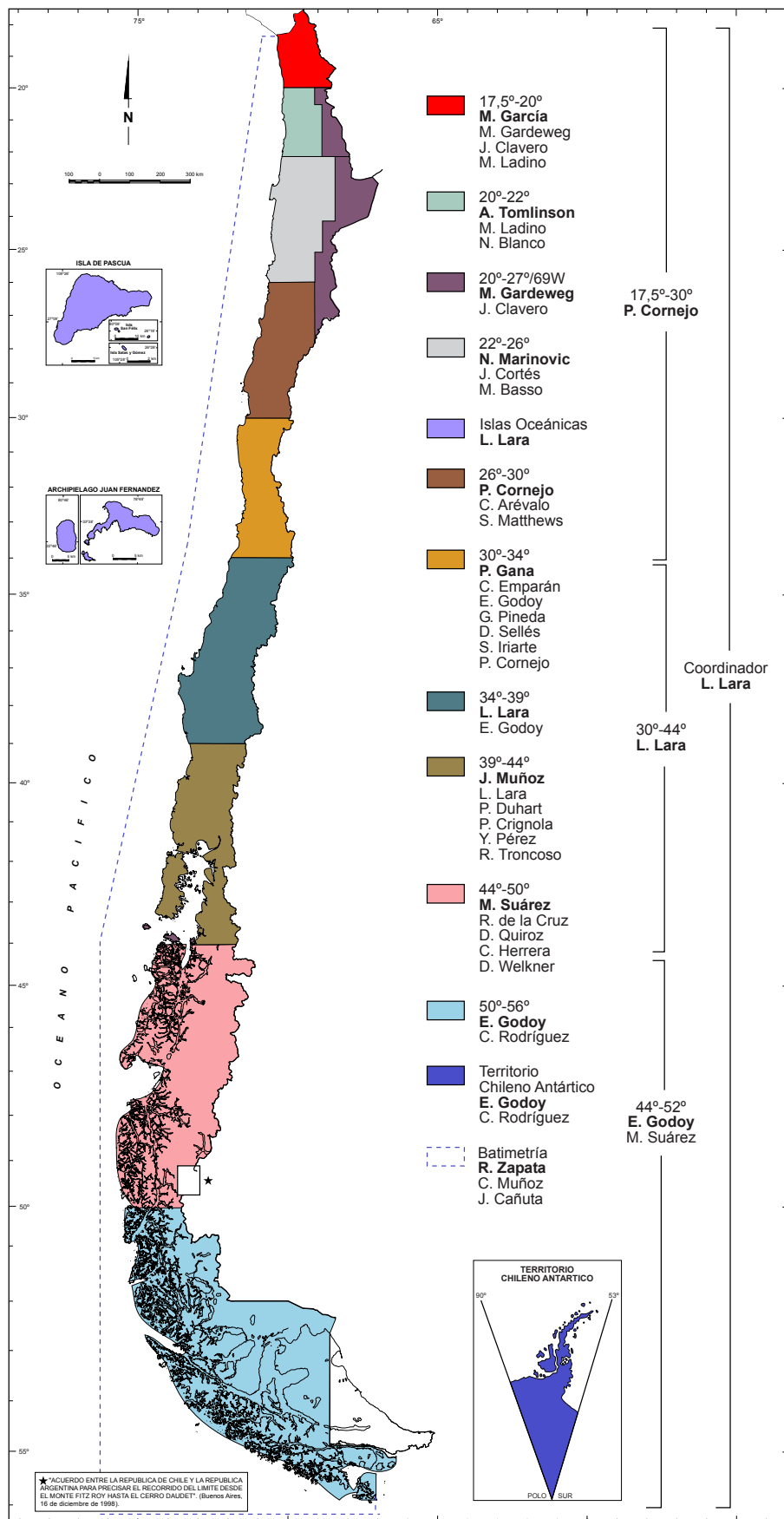
- Escala geológica del tiempo: Gradstein y Ogg (1996).
- Referencia geodésica: Proyección Universal Transversal de Mercator (UTM), Datum Provisorio Sudamericano de 1956.
- Base topográfica: Hojas UTM, escala 1:250.000, del Instituto Geográfico Militar, modificados. Láminas escala 1:50.000; 1:10.000; 1:6.500 del Servicio Oceanográfico de la Armada, modificados para los territorios insulares.

DOMINIOS MORFOESTRUCTURALES Y DIVISION POLITICO-ADMINISTRATIVA

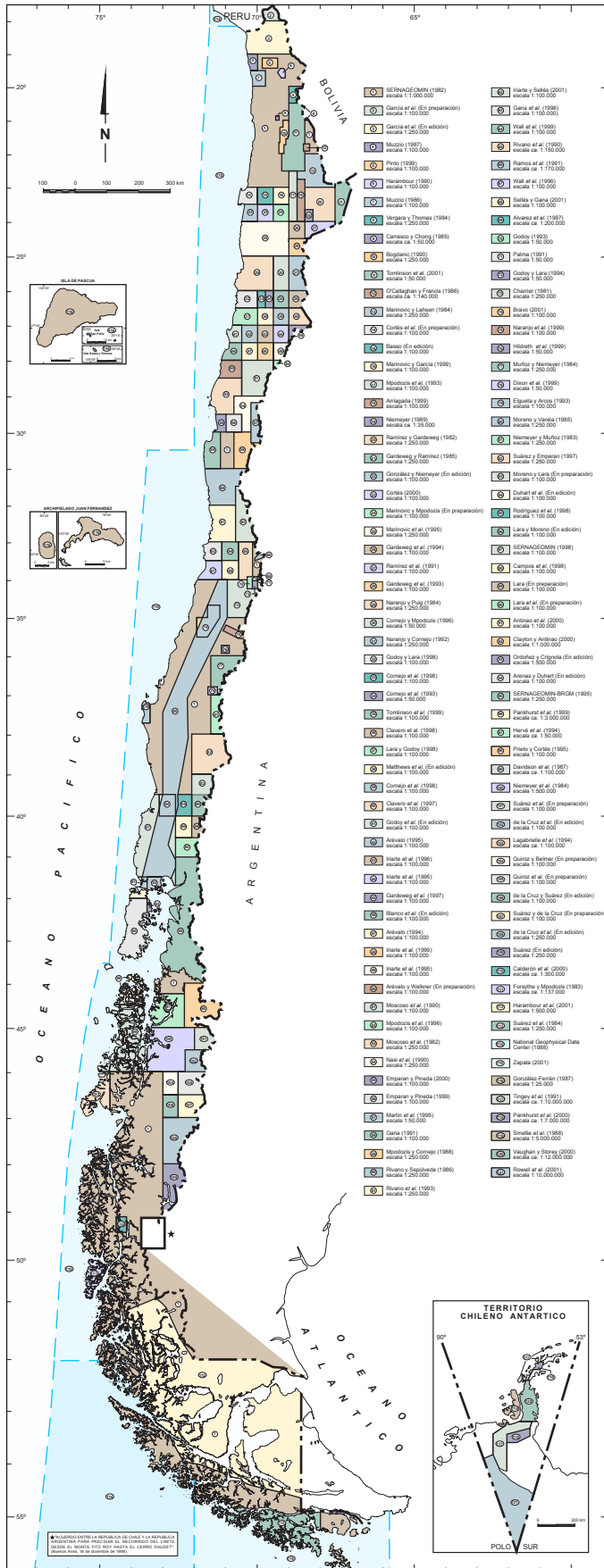


★ ACUERDO ENTRE LA REPUBLICA DE CHILE Y LA REPUBLICA ARGENTINA PARA PRECISAR EL RECORRIDO DEL LIMITE DESDE EL MONTE FITZ ROY HASTA EL CERRO DAUDET* (Buenos Aires, 16 de diciembre de 1988)

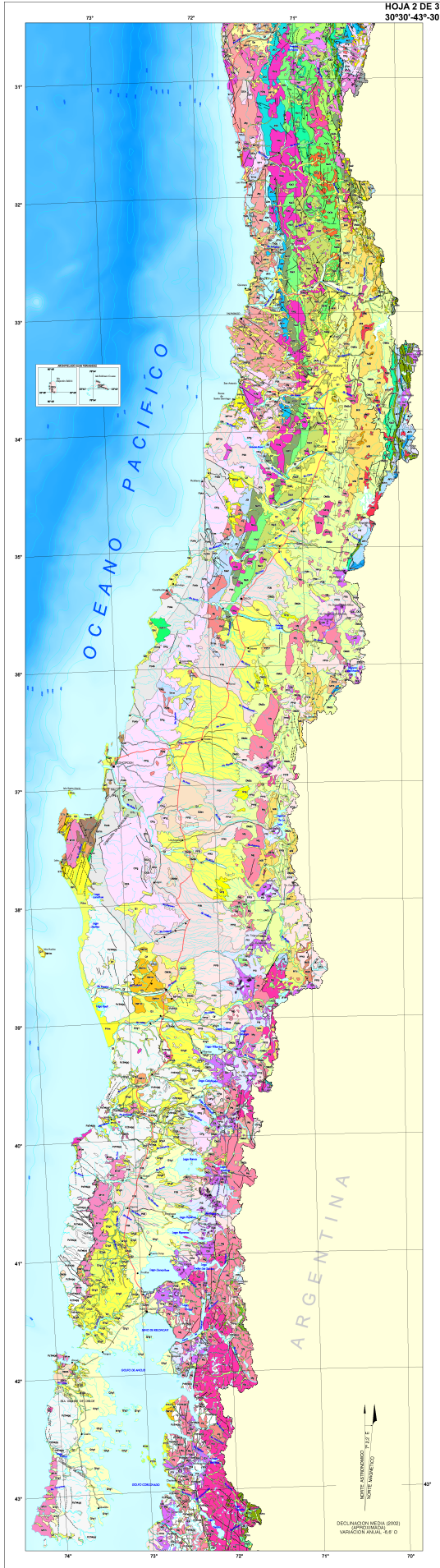
COMPILADORES Y COORDINADORES



FUENTE DE LA INFORMACION

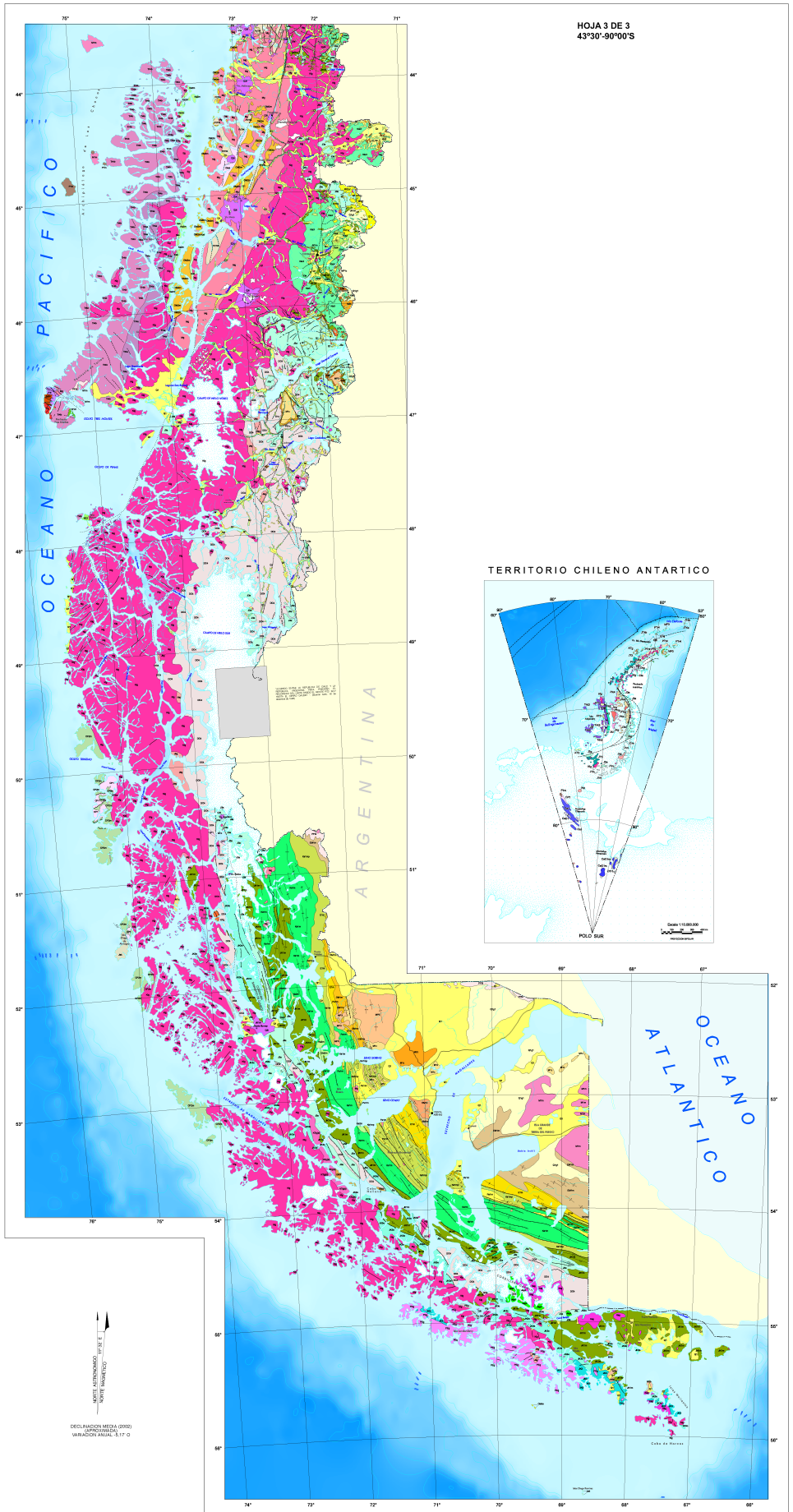


MAPA GEOLOGICO DE CHILE



Tomado de Sernageomin, (2000)

MAPA GEOLOGICO DE CHILE



Tomado de Sernageomin, (2000)

LEYENDA

SECUENCIAS SEDIMENTARIAS

SECUENCIAS VOLCANOSEDIMENTARIAS

SECUENCIAS VOLCANICAS

ROCAS INTRUSIVAS

ROCAS METAMORFICAS

Geological legend table with columns for Cenozoico, Paleogeno, Cretácico, Mesozoico, and Precámbrico. Each entry includes a color-coded box, a unit code (e.g., Dm, Q1, MP1), and a detailed description of the geological unit and its geographical distribution in Chile.

NOTA: La Leyenda que acompaña al Mapa Geológico de Chile, escala 1:1.000.000, está organizada en cinco columnas que representan, de izquierda a derecha, secuencias sedimentarias (1), secuencias volcánicas (2), rocas intrusivas (3) y rocas metamórficas (4) y (5). En cada una de ellas se identifican ambientes continentales, marino o oceánico. En la columna 3, los símbolos indican si se trata de un tipo de roca intrusiva (I) o de un tipo de roca metamórfica (M). Las unidades geológicas definidas tienen valor regional con intervalos de edad que pueden incluir unidades geológicas de menor duración temporal y reflejan el carácter geológico que ha permitido su identificación a partir de las unidades geológicas de mayor duración. En la columna 4, los símbolos (a) e (b) informan representativas consignadas en la nomenclatura catastral, listados de norte a sur.

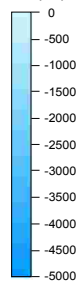
Tomado de Seragnówin, (2000)

DECLINACION MEDIA (2002)
VARIACION ANUAL: 0

SIMBOLOGIA

	Contacto geológico observado, inferido, cubierto
	Falla observada, inferida, cubierta
	Falla inversa
	Falla normal
	Falla de rumbo, flechas indican sentido de desplazamiento
	Falla fotointerpretada
	Milonitas
	Nitratos
	Traza de plano axial de anticlinal
	Traza de plano axial de sinclinal
	Traza de plano axial de anticlinal volcado
	Traza de plano axial de sinclinal volcado
	Traza de flexura con indicación de manto del limbo
	Centro volcánico
	Caldera
	Capital nacional (área urbana)
	Capital regional
	Ciudad o pueblo
	Carretera
	Camino principal
	Río, estero o curso de agua intermitente
	Lago, laguna o embalse
	Glaciar, ventisquero o hielo
	Isolínea batimétrica
	Límite internacional

Batimetría (m)



REFERENCIAS

Alvarez, P.; Aguirre-Urreta, M.B.; Godoy, E.; Ramos, V. 1997. Estratigrafía del Jurásico de la Cordillera Principal de Argentina y Chile. In Congreso Geológico Chileno, No. 8, Vol. 1, p. 425-429, Antofagasta.

Antinao, J.L.; Duhart, P.; Clayton, J.; Elgueta, S.; McDonough, M. 2000. Area Ancud-Maullín, Región de Los Lagos. Memoria Nacional de Geología y Minería, Mapas Geológicos, No. 17, escala 1:100.000. Santiago.

Arenas, M.; Duhart, P. En edición. Geología del área Castro-Dalcahue, Región de los Lagos. Servicio Nacional de Geología y Minería, Carta Geológica de Chile, Serie Geología Básica, escala 1:100.000. Santiago.

Arévalo, C. 1994. Mapa Geológico de la Hoja Los Loros. Servicio Nacional de Geología y Minería, Documentos de Trabajo, No. 6, escala 1:100.000. Santiago.

Arévalo, C. 1995. Mapa Geológico de la Hoja Copiapó. Servicio Nacional de Geología y Minería, Documentos de Trabajo, No. 8, escala 1:100.000. Santiago.

Arévalo, C.; Welkner, D. En preparación. Geología del área de Carrizal Bajo-Chacrcitas, Región de Atacama. Servicio Nacional de Geología y Minería, Carta Geológica de Chile, Serie Geología Básica, escala 1:100.000. Santiago.

Arriagada, C. 1999. Geología y Paleomagnetismo del Borde Occidental del Salar de Atacama. Tesis de Magister. (Inédito). Universidad de Chile, Departamento de Geología, 176 p., escala 1:100.000. Santiago.

Basso, M. En edición. Geología de la Hoja Baquedano, Región de Antofagasta. Servicio Nacional de Geología y Minería, Carta Geológica de Chile, Serie Geología Básica, escala 1:100.000. Santiago.

Blanco, N.; Godoy, E.; Marquardt, C. En edición. Geología de las Hojas Castilla y Totoral Bajo, Región de Atacama. Servicio Nacional de Geología y Minería, Carta Geológica de Chile, Serie Geología Básica, escala 1:100.000. Santiago.

Bogdanic, T., 1990. Kontinentale Sedimentation der Kreide und des Alttertiaers im Umfeld des subduktionsbedingten Magmatismus in der chilenischen Präkordillere (21°-23°S). Berliner Geowissenschaftliche Abhandlungen, Reihe A, No. 123, 117 p. Berlin.

Boric, R. 1981. Geología de los cuadrángulos Estación Colupito y Toco, Región de Antofagasta. Instituto de Investigaciones Geológicas, Carta Geológica de Chile, Nos. 49-50, escala 1:50.000. Santiago.

Bravo, P. 2001. Geología del borde oriental de la Cordillera de la Costa entre los ríos Mataquito y Maule, VII Región. Memoria de Título. (Inédito). Universidad de Chile, Departamento de Geología, 113 p., escala 1:100.000. Santiago.

Calderón, M.; Godoy, E.; Hervé, F.; Fanning, M. 2000. Metamorfismo y deformación jurásica tardía en Puerto Edén. Magallanes. Chile. In Congreso Geológico Chileno, No. 9, Vol. 2, p. 702-706. Puerto Varas.

Campos, A.; Moreno, H.; Muñoz, J.; Antinao, J.L.; Clayton, J.; Martín, M. 1998. Area de Futrono-Lago Ranco, Región de Los Lagos. Servicio Nacional de Geología y Minería, Mapas Geológicos, No. 8, escala 1:100.000. Santiago.

Carrasco, M.; Chong, G. 1985. Geología del distrito argentífero de Challaocollo, Primera Región de Tarapacá, Chile. In Congreso Geológico Chileno, No. 4, Vol. 3, p. 550-578. Antofagasta.

Charrier, R. 1981. Hoja El Teniente. (Inédito). Universidad de Chile, Departamento de Geología, 155 p., escala 1:250.000. Santiago.

Clavero, J.; Mpodozis, C.; Gardeweg, M. 1997. Mapa Geológico Preliminar del área del Salar Wheelwright, Región de Atacama. (Inédito). Servicio Nacional de Geología y Minería, escala 1:100.000. Santiago.

Clavero, J.; Gardeweg, M.; Mpodozis, C. 1998. Mapa Geológico Preliminar del área del Salar de Piedra Parada, Región de Atacama. (Inédito). Servicio Nacional de Geología y Minería, escala 1:100.000. Santiago.

Clayton, J.; Antinao, J.L. 2000. Area de Pargua-Calbuco, Región de Los Lagos. Servicio Nacional de Geología y Minería, Mapas Geológicos, No. 16, escala 1:100.000. Santiago.
Cornejo, P.; Mpodozis, C.; Ramirez, C.F.; Tomlinson, A.J. 1993. Estudio Geológico de la Región de Potrerillos y El Salvador (26°-27°L.S). Servicio Nacional de Geología y Minería, Informe Registrado, IR-93-01, 2 Vols., 12 mapas escala 1:50.000. Santiago.
Cornejo, P.; Mpodozis, C. 1996. Estudio Geológico de la región de Sierra Exploradora, Región de Atacama. Servicio Nacional de Geología y Minería, Informe Registrado, IR-96-09, 2 Vols., 9 mapas escala 1:50.000, Santiago.

Cornejo, P.; Mpodozis, C.; Tomlinson, A.J. 1998. Hoja Salar de Maricunga, Región de Atacama. Servicio Nacional de Geología y Minería, Mapas Geológicos, No. 7, escala 1:100.000. Santiago.

Cornejo, P.; Riquelme, R.; Mpodozis, C. 1998. Mapa Geológico Preliminar de la Hoja El Salvador, Región de Atacama. (Inédito). Servicio Nacional de Geología y Minería, escala 1:100.000. Santiago.

Cortés, J. 2000. Hoja Palestina, Región de Antofagasta. Servicio Nacional de Geología y Minería, Mapas Geológicos, No. 19, escala 1:100.000. Santiago.

Cortés, J.A.; Marquardt, C.; Wilke, P.; González, G.; Soto. J. En preparación. Geología de las Hojas Mejillones y Península de Mejillones, Región de Antofagasta. Servicio Nacional de Geología y Minería, Carta Geológica de Chile, Serie Geología Básica, escala 1:100.000. Santiago.

Davidson, J.; Godoy, E.; Mpodozis, C.; Hervé, F.; Pankhurst, R.; Brook, M. 1987. Late Paleozoic accretionary complexes on the Gondwana margin of southern Chile: evidence from the Chonos Archipiélago. In Gondwana Six: Structure, tectonics and geophysics. Geophysical Monograph, No. 40, p. 221-227.

De La Cruz, R.; Suárez, M. En edición. Geología del área Puerto Guadal-San José, Región Aisén del General Carlos Ibáñez del Campo. Servicio Nacional de Geología y Minería, Carta Geológica de Chile, Serie Geología Básica, escala 1:100.000. Santiago.

De La Cruz, R.; Suárez, M.; Belmar, M.; Bell, M. En edición. Geología del área Coihaique-Balmaceda, Región Aisén del General Carlos Ibáñez del Campo. Servicio Nacional de Geología y Minería, Carta Geológica de Chile, Serie Geología Básica, escala 1:100.000. Santiago.

De La Cruz, R.; Welkner, D.; Suárez, M.; Quiroz, D. En edición. Geología de la parte oriental de la Hoja Cochrane, Región Aisén del General Carlos Ibáñez del Campo. Servicio Nacional de Geología y Minería, Carta Geológica de Chile, Serie Geología Básica, escala 1:250.000. Santiago.

Dixon, H.J.; Murphy, M.D.; Sparks, S.; Chávez, R.; Naranjo, J.A.; Dunkley, P.N.; Young, S.R.; Gilbert, J.S.; Pringle, M. 1999. The Geology of Nevados de Chillán volcano, Chile. Revista Geológica de Chile, Vol.26, No.2, p. 227-253.

Duhart, P; Antinao, J.L.; Clayton, J.; Elgueta, S.; Crignola, P.; McDonough, M. En edición. Geología del área de Los Lagos-Malahue, Región de Los Lagos. Servicio Nacional de Geología y Minería, Carta Geológica de Chile, Serie Geología Básica, escala 1:100.000. Santiago.

Elgueta, S.; Arcos, R. 1993. Geología y modelo de sedimentación de la cuenca cretácico-terciaria de la Cuenca de Arauco. (Inédito). Empresa Nacional del Petróleo. 32 p. Santiago.

Emparan, C.; Pineda, G. 1999. Area Condoriaco-Rivadavia, Región de Coquimbo. Servicio Nacional de Geología y Minería, Mapas Geológicos, No. 12, escala 1:100.000. Santiago.

Emparan, C.; Pineda, G. 2000. Area La Serena-La Higuera, Región de Coquimbo. Servicio Nacional de Geología y Minería, Mapas Geológicos, No. 18, escala 1:100.000. Santiago.

Forsythe, R.; Mpodozis, C. 1983. Geología del basamento pre-jurásico superior en el Archipiélago Madre de Dios, Magallanes, Chile. Servicio Nacional de Geología y Minería, Boletín, No. 39, 63 p. Santiago.

Gana, P. 1991. Mapa Geológico de la Cordillera de la Costa entre La Serena y Quebrada El Teniente, Región de Coquimbo. Servicio Nacional de Geología y Minería, Documentos de Trabajo, No. 3, escala 1:100.000. Santiago.

Gana, P.; Wall, R.; Gutiérrez, A. 1996. Mapa Geológico del área de Valparaíso-Curacaví, Región de Valparaíso y Región Metropolitana. Servicio Nacional de Geología y Minería, Mapas Geológicos, No. 1, 20 p., escala 1:100.000. Santiago.

García, M.; Gardeweg, M.; Clavero, J.; Héraíl, G. En edición. Geología de la Hoja Arica, Región de Tarapacá. Servicio Nacional de Geología y Minería, Carta Geológica de Chile, Serie Geología Básica, escala 1:250.000. Santiago.

García, M.; Clavero, J.; Gardeweg, M. En preparación. Geología de las Hojas Visviri y Villa Industrial. Región de Tarapacá. Servicio Nacional de Geología y Minería, Carta Geológica de Chile, Serie Geología Básica, escala 1:100.000. Santiago.

Gardeweg, M.; Ramirez, C.F. 1985. Hoja Río Zapalerí, Región de Antofagasta. Servicio Nacional de Geología y Minería, Carta Geológica de Chile, No. 66, 89 p., escala 1:250.000. Santiago.

Gardeweg, M ; Ramirez, C.F.; Davidson, J. 1993. Mapa Geológico del área del Salar de Punta Negra y del volcán Llullaillaco, Región de Antofagasta. Servicio Nacional de Geología y Minería, Documentos de Trabajo, No. 5, escala 1:100.000. Santiago.

Gardeweg, M.; Pino, H.; Ramirez, C.F; Davidson, J. 1994. Mapa Geológico del área de Imlilac y Sierra de Almeyda, Región de Antofagasta. Servicio Nacional de Geología y Minería, Documentos de Trabajo, No. 7, escala 1:100.000. Santiago.

Gardeweg, M.; Mpodozis, C.; Clavero, J. 1997. Mapa Geológico Preliminar del área del Nevado Ojos del Salado, Región de Atacama. (Inédito). Servicio Nacional de Geología y Minería, escala 1:100.000. Santiago.

Godoy, E. 1993. Geología del área entre los ríos Claro del Maipo y Cachapoal. (Inédito). Servicio Nacional de Geología y Minería, 2 Vols., 4 mapas escala 1:50.000. Santiago.

Godoy, E.; Lara, L. 1994. El Teniente 2ª fase. (Inédito). Servicio Nacional de Geología y Minería. 40 p., 2 mapas escala 1:50.000.Santiago.

Godoy, E.; Lara, L. 1998. Hojas Chañaral y Diego de Almagro, Región de Atacama. Servicio Nacional de Geología y Minería, Mapas Geológicos, Nos. 5-6, escala 1:100.000. Santiago.

Godoy, E.; Marquardt, C.; Blanco, N. En edición. Geología de la Hoja Caldera, Región de Atacama. Servicio Nacional de Geología y Minería, Carta Geológica de Chile, Serie Geología Básica, escala 1:100.000. Santiago.

González, G.; Niemeyer, H. En edición. Geología de la Hoja Antofagasta, Región de Antofagasta. Servicio Nacional de Geología y Minería, Carta Geológica de Chile, Serie Geología Básica, escala 1:100.000. Santiago.

González-Ferrán, O. 1987. Evolución geológica de las islas oceánicas chilenas. In Islas oceánicas chilenas (Castilla, J., editor), Ediciones Universidad Católica de Chile, p. 37-54. Santiago.

Gradstein, F.; Ogg, J. 1996. Geological Time Scale. Episodes, Vol. 19, No. 1-2, p. 3-5.

Harambour, S. 1990. Geología pre-cenozoica de la Cordillera de los Andes entre las quebradas Aroma y Juan de Morales, I Región. Memoria de Título. (Inédito). Universidad de Chile, Departamento de Geología, 228 p., escala 1:100.000. Santiago.

Harambour, S.; Rojas, L.; Moraga, J.; Otzen, G. 2001. Mapa geológico 1:500.000 de la precordillera de la Región de Magallanes. (Inédito). Sociedad Internacional Petrolera S.A. Santiago.

Hervé, F.; Suárez, M.; De La Cruz, R.; Belmar, M. 1994. Los depósitos volcano-sedimentarios de la Cuenca extensional intra continental cenozoica de Isla Magdalena, Aisén. Chile. In Congreso Geológico Chileno, No. 7, Vol. 3, p. 825-829. Concepción.

Hildreth, W.; Fierstein, J.; Godoy, E.; Drake, R.E.; Singer, B. 1999. The Puelche Volcanic Field: extensive Pleistocene rhyolite lava flows in the Andes of central Chile. Revista Geológica de Chile, Vol. 26, No. 2, p. 275-309.

Iriarte, S.; Mpodozis, C.; Gardeweg, M. 1995. Hoja Laguna del Negro Francisco, Región de Atacama. Versión Preliminar. (Inédito). Servicio Nacional de Geología y Minería, escala 1:100.000. Santiago.

Iriarte, S.; Arévalo, C.; Mpodozis, C.; Rivera, O. 1996. Hoja Carrera Pinto, Región de Atacama. Servicio Nacional de Geología y Minería, Mapas Geológicos, No. 3, escala 1:100.000. Santiago.

Iriarte, S., Arévalo, C.; Mpodozis, C. 1999. Hoja La Guardia, Región de Atacama. Servicio Nacional de Geología y Minería, Mapas Geológicos, No. 13, escala 1:100.000. Santiago.
Lagabriele, Y., Le Moigne, J., Maury, R., Catten, J., Bourgois, J. 1994. Volcanic record of the subduction of an active spreading ridge, Taitao Peninsula (southern Chile). Geology, No. 22, p. 515-518.

Lara, L.; Godoy, E., 1998. Hoja Quebrada Salitrosa, Región de Atacama. Servicio Nacional de Geología y Minería, Mapas Geológicos, No. 4, escala 1:100.000. Santiago.

Lara, L.; Moreno, H. En edición. Geología del área Liqueñe-Neltume, Región de Los Lagos. Servicio Nacional de Geología y Minería, Carta Geológica de Chile, Serie Geología Básica, escala 1:100.000. Santiago.

Lara, L. En preparación. Geología del área de Baños de Chihúio, Región de Los Lagos. Servicio Nacional de Geología y Minería, Carta Geológica de Chile, Serie Geología Básica, escala 1:100.000. Santiago.

Lara, L.; Moreno, H.; Rodríguez, C.; Pérez, Y. En preparación. Geología del área de Termas de Puyehue, Región de Los Lagos. Servicio Nacional de Geología y Minería, Carta Geológica de Chile, Serie Geología Básica, escala 1:100.000. Santiago.

Marinovic N.; Lahsen, A. 1984. Hoja Calama, Región de Antofagasta. Servicio Nacional de Geología y Minería, Carta Geológica de Chile, No. 58, 140 p., escala 1:250.000. Santiago.

Marinovic, N.; Smoje, I.; Mksaev, V.; Hervé, M.; Mpodozis, C. 1995. Hoja Aguas Blancas, Región de Antofagasta. Servicio Nacional de Geología y Minería, Carta Geológica de Chile, No. 70, 150 p., escala 1:250.000. Santiago.

Marinovic, N.; García, M. 1999. Hoja Pampa Unión, Región de Antofagasta, Servicio Nacional de Geología y Minería, Mapas Geológicos, No. 9, escala 1:100.000. Santiago.

Marinovic, N.; Mpodozis, C. En preparación. Geología de la Hoja Oficina Domeyko, Región de Antofagasta. Servicio Nacional de Geología y Minería, Carta Geológica de Chile, Serie Geología Básica, escala 1:100.000. Santiago.

Martin, M.; Clavero, J.; Mpodozis, C.; Cuitiño, L. 1995. Estudio Geológico Regional de la Franja El Indio, Cordillera de Coquimbo. Servicio Nacional de Geología y Minería, Informe Registrado, IR-95-6, 2 Vols., 4 mapas escala 1:50.000. Santiago.

Matthews, S.; Cornejo, P.; Riquelme, R. En edición. Mapa Geológico de la Hoja Inca de Oro, Región de Atacama. Servicio Nacional de Geología y Minería, Carta Geológica de Chile, Serie Geología Básica, escala 1:100.000. Santiago.

Mercado, W.M. 1982. Hoja Laguna del Negro Francisco, Región de Atacama. Servicio Nacional de Geología y Minería, Carta Geológica de Chile, No. 56, 73 p., escala 1:100.000. Santiago.

Moreno, H.; Varela, J. 1985. Geología, volcanismo y sedimentos piroclásticos cuaternarios de la Región central y sur de Chile. In Suelos volcánicos de Chile (Tosso, I., editor). Instituto Nacional de Investigaciones Agropecuarias, p. 493-526. Santiago.

Moreno, H.; Lara, L. En preparación. Geología del área de Pucón, Regiones de la Araucanía y de los Lagos. Servicio Nacional de Geología y Minería, Carta Geológica de Chile, Serie Geología Básica, escala 1:100.000. Santiago.

Moscoso, R.; Nasi, C.; Salinas, P. 1982. Hoja Vallenar y parte norte de La Serena. Servicio Nacional de Geología y Minería, Carta Geológica de Chile, No. 55, 100 p., escala 1:250.000. Santiago.

Moscoso, R.; Nasi, C.; Mpodozis, C. 1990. Hoja El Tránsito. (Inédito). Servicio Nacional de Geología y Minería, escala 1:100.000. Santiago.

Mpodozis, C.; Cornejo, P. 1988. Hoja Pisco Elqui. Servicio Nacional de Geología y Minería, Carta Geológica de Chile, No. 68, 163 p., escala 1:250.000. Santiago.

Mpodozis, C.; Marinovic, N.; Smoje, I.; Cuitiño, L. 1993. Estudio Geológico-Estructural de la Cordillera de Domeyko entre Sierra Limón Verde y Sierra Mariposas, Región de Antofagasta. Servicio Nacional de Minería, Informe Registrado, IR-93-04, 281 p., 7 mapas escala 1:100.000. Santiago.

Mpodozis, C. 1996. Mapa geológico de la Región del Nevado de Jotabeche, Región de Atacama. (Inédito). In Evolución magmática terciaria de la región de transición entre la CVZ y la zona de subducción subhorizontal de los Andes chileno-argentinos, Proyecto Fondecyt No. 1920149, Comisión Nacional de Investigación Científica y Tecnológica, escala 1:100.000. Santiago.
Muzzio, G. 1986. Geología de los cuadrángulos Caleta Camarones, Cuya, Punta Gorda y Atajaña. (Inédito). Servicio Nacional de Geología y Minería. 43 p., escala 1:100.000. Santiago.
Muzzio, G. 1987. Geología de los cuadrángulos Pisagua, Zapiga, Caleta Buena y Huara. (Inédito). Servicio Nacional de Geología y Minería. 74 p., escala 1:100.000. Santiago.

Muñoz, J.; Niemeyer, H. 1984. Hoja Laguna del Maule, Regiones del Maule y del Biobío. Servicio Nacional de Geología y Minería, Carta Geológica de Chile, No. 64, 98 p., escala 1:250.000. Santiago.

Naranjo, J. A.; Puig, A.; 1984. Hojas Taltal y Chañaral, Región de Antofagasta y de Atacama. Servicio Nacional de Geología y Minería, Carta Geológica de Chile, Nos. 62-63, 140 p., escala 1:250.000. Santiago.

Naranjo, J. A.; Cornejo, P. 1992. Hoja Salar de la Isla, Región de Antofagasta. Servicio Nacional de Geología y Minería, Carta Geológica de Chile, No. 72, escala 1:250.000. Santiago.

Naranjo, J.A.; Haller, M.J.; Oстера H. A.; Pesce A.H.; Sruoga P. 1999. Geología y Peligros del Complejo Volcánico Planchón-Peteroa, Andes del Sur (35°15’S), Región del Maule, Chile-Provincia de Mendoza, Argentina. Servicio Nacional de Geología y Minería, Boletín, No. 52, 55 p., escala 1:100.000. Santiago.

Nasi, C.; Moscoso, R.; Mksaev, V. 1990. Hoja Guanta. Servicio Nacional de Geología y Minería, Carta Geológica de Chile, No. 67, 141 p., escala 1:250.000. Santiago.

Niemeyer, H.; Muñoz, J. 1983. Hoja Laguna de la Laja. Región del Biobío. Carta Geológica de Chile, No. 57, 52 p., escala 1:250.000.Santiago.

Niemeyer, H.; Skarmeta, J.; Fuenzalida, R.; Espinosa, W. 1984. Hojas Península de Taitao y Puerto Aisén, Región de Aisén del General Carlos Ibáñez del Campo. Servicio Nacional de Geología y Minería, Carta Geológica de Chile, Nos. 60-61, escala 1:500.000. Santiago.
Niemeyer, H. 1989. El complejo igneo-sedimentario del Cordon de Lila, Región de Antofagasta: significado tectónico. Revista Geológica de Chile, Vol.16, No.2, p. 163-181.

National Geophysical Data Center. 1988. Etopo5: Data Announcement 88-MGG-02, Digital relief of the surface of the Earth. National Oceanic and Atmospheric Administration (NOAA), National Geophysical Data Center. Boulder, Colorado, U.S.A.

O’Callaghan, L.J.; Francis, P.W. 1986. Volcanological and petrological evolution of San Pedro volcano, Provincia El Loa, North Chile. Journal of the Geological Society of London, Vol. 143, p. 275-286.

Ordóñez, A.; Crignola, P. En edición. Depósitos metalíferos, anomalías geoquímicas, rocas y minerales industriales del sector sur de la Región de Los Lagos. Servicio Nacional de Geología y Minería, Carta Geológica de Chile, Serie Recursos Minerales y Energéticos, escala 1:500.000. Santiago.

Palma, W. 1991. Evidencias de una regresión diacrónica en la Formación Colimapu, al sur del río Volcán, Región Metropolitana, In Congreso Geológico Chileno, No. 6, Vol. 1, p. 515-519. Viña del Mar.

Pankhurst, R.J., Weaver, S.; Hervé, F.; Arrondo, P. 1999. Mesozoic-Cenozoic evolution of the North Patagonian Batholith in Aisén, southern Chile. Journal of the Geological Society of London, No. 156, p. 673-694.

Pankhurst, R.J.; Riley,T.R., Fanning, C.M.; Kelley, S.P. 2000. Episodic silicic volcanism along the proto-Pacific margin of Patagonia and the Antarctic Peninsula: plume and subduction influences associated with the break-up of Gondwana. Journal of Petrology, No. 41, p. 605-625.

Pinto, L. 1999. Evolución tectónica y geomorfológica cenozoica del borde occidental del Altiplano y su registro sedimentario entre los 19°08’-19°27’S (Región de Tarapacá, Chile). Memoria de Título. (Inédito). Universidad de Chile, Departamento de Geología, 125 p. Santiago.

Prieto, X.; Cortes, J. 1995. Geología del sector oriental de la Hoja Río Cisnes (71° a 72° 20’LW y 44° a 45°LS), Región de Aisén, Informe de Avance. (Inédito). Servicio Nacional de Geología y Minería, 50 p., 3 mapas escala 1:100.000. Santiago.

Quiroz, D.; Belmar, M. En preparación. Geología del área Bahía Murta-Cerro Sin Nombre, Región Aisén del General Carlos Ibáñez del Campo. Servicio Nacional de Geología y Minería, Carta Geológica de Chile, Serie Geología Básica, escala 1: 100.00. Santiago.

Quiroz, D., Bruce, Z., Belmar, M. En preparación. Geología del área de Puerto Ingeniero Ibáñez-Villa Cerro Castillo, Región Aisén del General Carlos Ibáñez del Campo. Servicio Nacional de Geología y Minería, Carta Geológica de Chile, Serie Geología Básica, escala 1:100.000. Santiago.

Ramírez, C. F.; Huete, C. 1981. Hoja Ollagüe, Región de Antofagasta. Instituto de Investigaciones Geológicas, Carta Geológica de Chile, No. 40, 47 p., escala 1:250.000, Santiago.

Ramirez, C.F.; Gardeweg, M. 1982. Hoja Toconao, Región de Antofagasta. Servicio Nacional de Geología y Minería, Carta Geológica de Chile, No. 54, 122 p., escala 1:250 000. Santiago.

Ramirez, C.F.; Gardeweg, M.; Davidson, J.; Pino, H. 1991. Mapa Geológico del área de los volcanes Socompa y Pular, Región de Antofagasta. Servicio Nacional de Geología y Minería, Documentos de Trabajo, No. 4, escala 1: 100 000. Santiago.

Ramos, V.; Godoy, E.; Lo Forte, G.; Aguirre-Urreta. M.B. 1991. La franja plegada y corrida al norte del río Colorado, Región Metropolitana, Chile Central. In Congreso Geológico Chileno, No. 6, Vol. 1, p. 323-327. Viña del Mar.

Rivano, S.; Sepúlveda, P. 1986. Hoja Illapel. Servicio Nacional de Geología y Minería, Carta Geológica de Chile, No. 69, escala 1:250.000. Santiago.

Rivano, S.; Godoy, E.; Vergara, E.; Villarroel, R. 1990. Redefinición de la Formación Farellones en la Cordillera de los Andes de Chile Central (32-34°S). Revista Geológica de Chile, Vol. 17, No. 2, p. 205-214.

Rivano, S.; Sepúlveda, P.; Boric, R.; Espiñeira, D. 1993. Hojas Quillota y Portillo. Servicio Nacional de Geología y Minería, Carta Geológica de Chile, No. 73, escala 1:250.000. Santiago.

Rodríguez, C.; Pérez, Y.; Moreno, H.; Clayton, J.; Antinao, J.L.; Duhart, P.; Martín, M. 1999. Area de Panguipulli-Riñihue, Región de Los Lagos. Servicio Nacional de Geología y Minería, Mapas Geológicos, No. 10, escala 1:100.000. Santiago.

Rowell, A.J.; Van Schmus, W.R.; Storey, B.C.; Fetter, A.H.; Evans, K.R. 2001. Latest Neoproterozoic to Mid-Cambrian age for the main deformation phases of the Transantarctic Mountains: new stratigraphic and isotopic constraints from the Pensacola Mountains, Antarctica. Journal of the Geological Society of London, No. 158, p. 295-308.

Sellés, G.; Gana, P. 2001. Mapa geológico del área de Talagante-San Francisco de Mostazal, Regiones Metropolitana de Santiago y del Libertador General Bernardo O’Higgins. Servicio Nacional de Geología y Minería, Carta Geológica de Chile, Serie Geología Básica, No. 74, 33 p., escala 1:100.000. Santiago.

SERNAGEOMIN. 1982. Mapa Geológico de Chile. Servicio Nacional de Geología y Minería, 1 mapa en 6 hojas, escala 1:1.000.000. Santiago.

SERNAGEOMIN-BRGM. 1995. Carta Metalogénica X Región sur. Servicio Nacional de Geología y Minería–Bureau de Recherches Géologiques et Minières. Informe Registrado IR-95-05, 4 Tomos, 10 Vols., 95 mapas, diferentes escalas. Santiago.

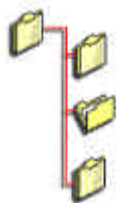
SERNAGEOMIN. 1998. Estudio geológico-económico de la X Región norte, Chile. Informe Registrado IR-98-15, 6 Vols., 27 mapas, diferentes escalas. Santiago.

SERNAGEOMIN. 2002. Mapa Geológico de Chile. Servicio Nacional de Geología y Minería, Carta Geológica de Chile, No. 751 mapa en tres hojas, escala 1:1.000.000. Santiago.

Smellie, J.L., Pankhurst, R.; Hole, M.; Thomson, J. 1988. Age, distribution and eruptive conditions of Late Cenozoic alkaline volcanism in the Antarctic Peninsula and eastern Ellsworth Land: Review. British Antarctic Survey, Bulletin, No. 80, 49 p.

Suárez, M.;

DIRECTORIOS DE ARCHIVOS



Este CD incluye tres directorios organizados por software, TNT-Mips® versión 5.4 y PC Arc-Info® versión 3.4.2 y el directorio PRESENTACION. En el directorio TNT-Mips se encuentra la totalidad de los elementos que componen el mapa. Dentro del directorio PC Arc-Info se encuentran coberturas y archivos transformados a formatos de exportación E00 de los niveles de información topográfica y geológica. El directorio PRESENTACION incluye dos archivos, uno en formato PDF y el archivo de instalación de Adobe Acrobat Reader®, necesario para la ejecución de esta presentación.

1. TNT-Mips

El directorio Mapa Geológico TNT-Mips incluye los siguientes subdirectorios organizados por temas:

1. **Comp-map:** Archivos de los elementos de composición del mapa.
2. **Desa-gis:** Elementos de desarrollo del sig, en el caso que los hubiera.
3. **Geol:** Archivos de información geológica
4. **Topo:** Archivos de información topográfica.
5. **Vi-ccart:** Archivos de las composiciones de mapa, archivos de impresión, etc.

1.1. CONTENIDO DE CADA SUBDIRECTORIO

1. Comp-Map

- Elemddb.rvc: Archivo Mips. Elementos auxiliares de dibujo tales como márgenes, máscaras para ocultar elementos no deseados, etc.
- Simbleye.rvc : Archivo Mips. Leyendas, simbología del mapa, referencias bibliográficas.

2. Desa-Gis

- Estilos.rvc: Archivo Mips. Tablas de estilos especiales para este mapa.
- Rgb.txt: Contiene las mezclas de colores utilizados en el mapa, el cual debe ser insertado dentro del archivo Rgb.txt del directorio del programa TNT-Mips.

3. Geol

- Antartica.rvc Archivo Mips. Niveles o capas de información geológica.
- Capgeo.rvc: Archivo Mips. Niveles o capas de información geológica.
- Islas.rvc Archivo Mips. Niveles o capas de información geológica.

4. Topo

- Captop.rvc: Archivo Mips. Niveles de información topográficos.

5. Vi-ccart

- Vistas.rvc: Archivo Mips. Vista o composición cartográfica del mapa.
- Hoja1.p1: Archivo de impresión final del mapa completo, para plotter Hp650 o superior.
- Hoja2.p1: Archivo de impresión final del mapa completo, para plotter Hp650 o superior.
- Hoja3.p1 Archivo de impresión final del mapa completo, para plotter Hp650 o superior.

Estos archivos de extensión .rvc pueden ser, ya sea de tipo raster, vector o CAD.

1.2. CAPAS DE INFORMACION QUE COMPONEN EL MAPA

Contenido de los archivos .rvc (raster, vector o CAD) del formato TNT-Mips.

Elemdb.rvc

MascaraNorte	Vector con marcas de puntos para corte del mapa.
DOMIN_COMPILADO	Figuras Dominios Morfoestructurales y Compiladores.
TIT_MAPA	Figura Título del Mapa.
VIÑETA	Figura Carátula del Mapa.
LEY2	Parche de la Fuente de la información(ESQ_MILLON_C).
ESQ_MILLON_C	Figura de la Fuente de la información.
MascaraSur	Máscara para el mar de la Hoja 3 de 3.
CajasSalasYGomez	Borde de mapa de las islas Salas y Gómez en Hoja 1.
CajasFelixAmbro	Borde de mapa de las islas San Felix y San Ambrosio en Hoja 1.
CajaPascua	Borde de mapa de la isla de Pascua en Hoja 1.
CajaAntartica	Borde de mapa del Territorio Antártico en Hoja 3.
GrillaCentro	Grilla de la Hoja 2 de 3.
DIFROL	Raster, texto de DIFROL.
CajaRCySelkirk	Borde de mapa de las islas Robinson Crusoe y Alejandro Selkirk.
NORTE_HOJA1	Figura Norte Hoja 1 de 3.
NORTE_HOJA3	Figura Norte Hoja 3 de 3.
LatLonSalyGomez	Vector, grilla latitud-longitud de isla Salas y Gómez en Hoja 1.
GrillaSur	Grilla de la Hoja 2 de 3.
TRAMA_hielo	Polígono para achurar con simbología de hielo.
GrillaNorte	Grilla de la Hoja 1 de 3.
TRAMA_antartica	Polígono para achurar con simbología de hielo.
CUADRO	Cuadro inserto en el limite internacional por DIFROL de la hoja 3 de 3.

Simbleye.rvc

CREDITOS	Créditos Hoja 1.
REFERENCIAS1	Bibliografía Hoja 3.
LEYENDA2	Raster leyenda parte 2 Hoja 2.
Simbologia_vect	Vector con simbología mapa Hoja 3.
SIMBOL_MILLON	Raster simbología del mapa Hoja 3.
Leyenda1_vect	Vector leyenda parte 1 Hoja 2.
Leyenda2_vect	Vector leyenda parte 2 Hoja 2.
LEYENDA1	Raster leyenda mapa parte 1 Hoja 2.

Estilos.rvc

Estilotopo	Tipos de líneas para topografía.
Estilolinea	Tipos de líneas.

Antartica.rvc

H70GCOD0	Textos de códigos de Territorio Antártico en Hoja 3.
H70GCON0	Contactos y unidades geológicas en Hoja 3.
H70MORF0	Textos geomorfológicos en Hoja 3.

H70GRFA0	Símbolos de estructuras en Hoja 3.
H70GRID	Grilla en Hoja 3.
H70GMET0	Metamorfismo en Hoja 3.
H70GFALO	Fallas y pliegues en Hoja 3.
Parche	Máscara en Hoja 3.

Capgeo.rvc

CentrosSur	Centros de emisión volcánica de la Hoja 3.
CodgeoNorte	Textos de códigos de geología de la Hoja en Hoja 1.
GeologiaCentro	Contactos y unidades geológicas de la Hoja 2.
CodgeoSur	Textos de códigos de geología de la Hoja 3.
FallasCentro	Fallas, pliegues y lineamientos de la Hoja 2.
CodigosGeologia	Textos de códigos de geología de la Hoja .
FallasNorte	Fallas, pliegues y lineamientos de la Hoja 1.
GeologiaNorte	Contactos y unidades geológicas de la Hoja 1.
DibujosNorte	Vector, elementos de dibujo dentro del mapa de Hoja 1.
MetamorSur	Metamorfismo de la Hoja 3.
CentrosNorte	Centros de emisión volcánica de la Hoja 1.
GeologiaSur	Contactos y unidades geológicas de la Hoja de la Hoja 3.
MetamorNorte	Metamorfismo de la Hoja 1.
DibujosSur	Vector, elementos de dibujo dentro del mapa de Hoja 3.
CentrosCentro	Centros de emisión volcánica de la Hoja 2.
DibujosCentro	Vector, elementos de dibujo dentro del mapa de Hoja 2.
EstructCentro	Simbología estructural de la Hoja 2.
EstructSur	Simbología estructural de la Hoja 3.
FallasSur	Fallas, pliegues y lineamientos de Hoja 3.
EstructNorte	Simbología estructural de la Hoja 2.

Islas.rvc

H74GCON1	Contactos y unidades geológicas de isla Alejandro Selkirk en Hoja 2.
H71GCON1	Contactos y unidades geológicas de isla de Pascua en Hoja 1.
H72GCON1	Contactos y unidades geológicas de isla Robinson Crusoe en Hoja 2.
H75GCON0	Contactos y unidades geológicas de isla Salas y Gómez en Hoja 1.
centros_pascua	Centros de emisión volcánica de isla de Pascua en Hoja 1.
H72GVOL1	Centros de emisión volcánica de isla Robinson Crusoe en Hoja 2.
H73GCON1	Contactos y unidades geológicas de islas San Félix y San Ambrosio en Hoja 2.
H74GVOL1	Centros de emisión volcánica de isla Alejandro Selkirk en Hoja 2.

Captop.rvc

HidTxtNorte	Toponimia de Hidrografía de la Hoja 1.
HidroCentro	Hidrografía de la Hoja 2.
MorfTxtCentro	Toponimia de morfología de la Hoja 2.
Centro_Mar	Raster, Batimetría de la Hoja 2.
MorfTxtSur	Toponimia de morfología de la Hoja 3.

Sur_Mar	Raster, Batimetría de la Hoja 3.
Antarti_Mar	Raster, Batimetría de Territorio Antártico de la Hoja.
CurNorteBatimet	Isolíneas de la Batimetría de la Hoja 2.
HojaNorte	Areas y límites de la Hoja 1.
HidTxtSur	Toponimia de Hidrografía de la Hoja 3.
HidroSur	Hidrografía de la Hoja 3.
HidroNorte	Hidrografía de la Hoja 1.
CaminosNorte	Caminos de la Hoja 1.
CaminosSur	Caminos de la Hoja 3.
norte_Mar	Raster, Batimetría de la Hoja 1.
HojaSur	Areas y límites de la Hoja 3.
CiudadesCentro	Ciudades de la Hoja 2.
PoblaSur	Poblados de la Hoja 3.
PoblaCentro2	Poblados de la Hoja 2.
MorfTxtNorte	Toponimia de morfología de la Hoja 1.
CaminosCentro	Caminos de la Hoja 2.
HidTxtCentro2	Toponimia de Hidrografía de la Hoja 2.
CiudadesSur	Ciudades de la Hoja 3.
PoblaNorte	Poblados de la Hoja1.
EtiqNorteBatime	Textos que indican profundidad de Isolínea de la Hoja 1.
EtiqCentroBatim	Textos que indican profundidad de Isolínea de la Hoja 2.
CurCentroBatime	Isolíneas de la Batimetría de la Hoja 2.
EtiqSurBatimetr	Textos que indican profundidad de Isolínea de la Hoja 3.
CurSurBatimetri	Isolíneas de la Batimetría de la Hoja 3.
CurAntartBatime	Isolíneas de la Batimetría de Territorio Antártico.
HojaCentro	Areas y límites de la Hoja 2

Vistas.rvc

Hoja_1	Vista del mapa a escala 1: 1.000.000 de la Hoja 1 (Norte).
Hoja_2	Vista del mapa a escala 1: 1.000.000 de la Hoja 2 (Centro).
Hoja_3	Vista del mapa a escala 1: 1.000.000 de la Hoja 3 (Sur).

1.3. TABLAS DE DATOS ASOCIADAS A CAPGEO.RVC

Algunos niveles de información geológica contienen datos asociados a los elementos. Los archivos PAT para atributos de puntos y polígonos. AAT para los atributos de línea, son tablas en formato Arc-Info.

GEOLOGIA:

Polígonos:	"PAT".Campo: GEO, con código geológico o sigla de la unidad correspondiente.
Líneas:	"AAT". Campo: VIN, indica el tipo de contacto para asignar el símbolo a cada uno de ellos:

- Borde de Mapa.
- C Contacto Cubierto.
- E Contacto por Escarpe.
- H Límite de zonas de Hielo.
- I Contacto Inferido.
- L Límite Internacional.
- M Línea de Costa.
- O Contacto Observado.
- R Límites de Ríos, Lagos y Lagunas.
- S Límite costero de Islas.
- o Líneas Arbitrarias (Ocultas)
- V Límite de hielo de Volcanes.

FALLAS:

Líneas:

“AAT”. Campos:

AUX_ID, donde se guarda el identificador original de digitalización Arc-Info.

TIPO, tipo de estructura lineal:

- F Falla.
- C Cráter.
- E Escarpe.
- L Lineamiento.
- P Pliegue.

VIN, con el valor de la información:

- O Observada.
- I Inferida.
- C Cubierta.

ST, con el stress o movimiento ya sea; el campo normal, inversa, dextral o sinistral:

- C Compresión.
- D Distensión.

MN, valor del manto en grados.

MO, se encuentra la ubicación del símbolo de acuerdo al sentido de digitalización, ya sea a la izquierda o derecha.

2. PC Arc-Info

El directorio raíz incluye los siguientes subdirectorios organizados por temas:

1. **Geol:** Información geológica del mapa.
2. **Topo:** Información topográfica del mapa.

2.1. CONTENIDO DE CADA SUBDIRECTORIO

La descripción de las tablas de datos de estos niveles de información, corresponden a las detalladas para el formato TNT-Mips. Las tablas de atributos en este caso son AAT para líneas y PAT para polígonos o puntos.

1. Geol

Antartica

Geologia	Unidades y contactos geológicos.
Fallas	Fallas, estructuras lineales, diques de la Hoja 3.
Rfalla	Elementos en el mapa relacionados a las fallas.
Metamorf	Areas de metamorfismo.
Toponimo	Textos de topónimos.
geologia.E00	
fallas.E00	
rfalla.E00	
metamorf.E00	
toponimo.E00	

Centro

Centros	Centros de emisión volcánica en Hoja 2.
Dibujo	Elementos de dibujo en Hoja 2.
Estructu	Medidas estructurales en Hoja 2.
Fallas	Fallas, estructuras lineales, diques en Hoja 2.
Geologia	Unidades y contactos geológicos en Hoja 2.
centros.E00	
dibujo.E00	
estructu.E00	
fallas.E00	
geologia.E00	

Islas

Gepascua	Unidades y contactos geológicos en Hoja 1.
Gercruso	Unidades y contactos geológicos en Hoja 2.
Vorcruso	Centros de emisión volcánica en Hoja 2.
Gefeambr	Unidades y contactos geológicos en Hoja 1.
Gealselk	Unidades y contactos geológicos en Hoja 2.
Voalselk	Centros de emisión volcánica en Hoja 2.
Gesalgom	Unidades y contactos geológicos en Hoja 1.
gepascua.E00	
gercruso.E00	
vorcruso.E00	
gefeambr.E00	
gealselk.E00	
voalselk.E00	
gesalgom.E00	

Norte

Geología	Unidades y contactos geológicos en Hoja 1.
Fallas	Fallas, estructuras lineales, diques en Hoja 1.
Centros	Centros de emisión volcánica en Hoja 1.
Dibujo	Elementos de dibujo en Hoja 1.
Estructu	Medidas estructurales en Hoja 1.
Metamor	Areas de metamorfismo en Hoja 1.
Geología.E00	
fallas.E00	
centros.E00	
dibujo.E00	
estructu.E00	
metamor.E00	

Sur

Centros	Centros de emisión volcánica en Hoja 3.
Dibujo	Elementos de dibujo en Hoja 3.
Estructu	Medidas estructurales en Hoja 3.
Fallas	Fallas, estructuras lineales, diques en Hoja 3.
Geología	Unidades y contactos geológicos en Hoja 3.
Metamorf	Areas de metamorfismo en Hoja 3.
centros.E00	
dibujo.E00	
estructu.E00	
fallas.E00	
geología.E00	
metamorf.E00	

2. Topo

antártica

Curbatim	Curvas de Batimetría.
curbatim.E00	

Centro

Txt_cent	Toponimia en Hoja 2.
Caminos	Caminos en Hoja 2.
Ciudades	Ciudades en Hoja 2.
Hidrogra	Hidrografía en Hoja 2.
Limite	Límites en Hoja 2.
Txt_morf	Textos Morfológicos en Hoja 2.
Poblados	Poblados en Hoja 2.

Curbatim
txt_cent.dxf
caminos.E00
ciudades.E00
hidrogra.E00
txt_hidro.E00
limite.E00
txt_morf.E00
poblados.E00
curbatim.E00

Curvas de Batimetría en Hoja 2.

Norte

Caminos
Hidrogra
Txt_hidr
Limites
Txt_morf
Poblados
Curbatim
Txt_nort
caminos.E00
hidrogra.e00
txt_hidr.E00
limites.E00
txt_morf.E00
poblados.E00
curbatim.E00
txt_nort.dxf

Caminos en Hoja 1.
Hidrografía en Hoja 1.
Textos de Hidrografía en Hoja 1.
Límites en Hoja 1.
Textos Morfológicos en Hoja 1.
Poblados.
Curvas de Batimetría.
Toponimia.

Sur

Caminos
Ciudades
Hidrogra
Txt_hidr
Limite
Txt_morf
Poblados
Curbatim
Txt_sur
caminos.E00
ciudades.E00

Caminos en Hoja 3.
Ciudades en Hoja 3.
Hidrografía en Hoja 3.
Textos de Hidrografía en Hoja 3.
Límites en Hoja 3.
Textos Morfológicos en Hoja 3.
Poblados en Hoja 3.
Curvas de Batimetría en Hoja 3.
Toponimia en Hoja 3.

hidrogra.E00
txt_hidr.E00
limite.E00
txt_morf.E00
poblados.E00
curbatim.E00
txt_sur.dxf

3. PRESENTACION

MAPA.PDF	Archivo en formato Acrobat. Este archivo contiene la presentación completa del mapa y es posible visualizarlo si tiene instalado previamente Adobe Acrobat Reader 4.0 o superior.
AcRd4ESP.exe	Archivo de instalación de Adobe Acrobat Reader 4.0, necesario para la visualización del archivo MAPA.PDF.
Léame.PDF	Archivo de instrucciones de instalación de Adobe Acrobat Reader 4.0.